

تأثیر موقعیت و درصد جرمی میراگر TMD در پلان بر عملکرد لرزه‌ای سازه‌های سازه‌های بتن‌آرمه

سعید جواهرزاده، عضو هیأت‌علمی دانشکده فنی، گروه عمران، دانشگاه آزاد اسلامی واحد شبستر، شبستر، ایران

میر اسلام محمدی اصل نژاد، کارشناس ارشد سازه، دانشکده فنی، گروه عمران، دانشگاه آزاد اسلامی واحد شبستر، شبستر، ایران

Amir57_mohammadi@yahoo.com

تاریخ دریافت: ۹۴/۳/۲۵ تاریخ پذیرش نهایی: ۹۴/۱۰/۸

چکیده:

تکنیک کنترل سازه‌ها، جدیدترین روش جهت بهبود رفتار سازه در مقابل نیروهای غیر متعارف باد و زلزله می‌باشد. در این راستا محققین، استفاده از وسایل ابتکاری نظیر میراگر جرمی تنظیم شده را جهت کاهش ارتعاشات لرزه‌ای سازه‌ها و نیز فراهم نمودن تسهیلاتی برای مقابله با بار باد و زلزله پیشنهاد می‌کنند. در مقاله حاضر، بررسی تأثیر موقعیت و درصد جرمی میراگر TMD در پلان بر عملکرد لرزه‌ای سازه‌های بتنی مورد بررسی قرار گرفته است. برای این منظور، رفتار سازه هیچ‌جده طبقه بتنی با الحاق میراگر جرمی با نسبت جرمی ۰.۵٪، ۱۰٪، ۱۵٪ و ۲۰٪ در نرم افزار SAP 2000 مدلسازی و تحت آنالیز تاریخچه زمانی غیر خطی تحلیل گردید. نتایج حاصل، بیانگر این می‌باشد که میراگرهای جرمی تنظیم شده می‌توانند پاسخ دینامیکی سازه‌ها را در مقابل زلزله، تا حد زیادی کاهش دهند. از این رو چنین سیستم‌هایی می‌توانند برای مقاوم سازی سازه‌ها و بهبود رفتار آنها تحت اثر زلزله مورد استفاده قرار گیرند.

کلید واژگان: میراگر جرمی تنظیم شده، درصد جرمی میراگر، موقعیت میراگر در پلان، آنالیز تاریخچه زمانی غیر خطی

اصلی مورد بررسی قرار داد. نتیجه مطالعه اخیر نشان داد که جذب کننده دینامیکی با استفاده از مواد با سختی متناسب با فرکانس و ضریب میرایی ثابت می‌تواند بطور قابل ملاحظه‌ای ارتعاش تشید و شده سیستم اصلی را کاهش دهد. در سال ۱۹۷۷ آقایان Jennige و Frohrib بصورت عددی اثر یک سیستم جذب کننده انتقالی- چرخشی را در کاهش مقادیر مودال خمشی و پیچشی مربوط به یک ساختمان مورد بررسی قرار دادند [۳]. میراگر جرمی در ایران نیز خوشبختانه در پنج سال اخیر مورد توجه قرار گرفته است. در این میان ارتعاشات لرزه‌ای ساختمان‌های میان مرتبه را بررسی نموده و نشان

۱- مقدمه

میراگر جرمی (TMD) یا Tuned Mass Damper نمونه‌ای از میراگرهای غیر فعال می‌باشد. این میراگر در طبقات ویا پشت‌بام ساختمان نصب می‌گردد. از این رو می‌توان آنرا به عنوان ابزاری جهت مقاوم‌سازی نیز به کار برد. سرآغاز طرح این میراگرها بر پایه مطالعاتی است که بر روی ضریبه گیرهای ارتعاشات دینامیکی توسط فرهام انجام شد و نتایج آن در سال ۱۹۰۹ منتشر گردید [۲]. اورموندروید و دن هارتگ در سال ۱۹۲۸ مدل کامل‌تری از ضریبه‌گیرها را گسترش دادند [۲]. در سال ۱۹۶۰ Snowdon برای افزایش بازده، رفتار جذب کننده صلب را در کاهش پاسخ سیستم

$$\begin{aligned} M_S \ddot{u}_S + C_S \dot{u}_S + K_S u_S &= -M_S \ddot{u}_g + F_{TMD} \\ &= C_d \dot{u}_d + K_d u_d \end{aligned}$$

پارامتر F_{TMD} در واقع همان نیروی اندرکنش میان سازه اصلی و میراگر می‌باشد. در صورتیکه سازه اصلی تحت شتاب نگاشت معینی مرتعش گردد، می‌توان با حل عددی همزمان معادله‌های (۲) و (۳) و (۴) نیروی اندرکنش را برای هر گام زمانی محاسبه نمود و پاسخ سازه را بدست آورد. کارایی روش مذبور در صورتیکه رفتارسازه غیر خطی باشد بسیار بالاست چرا که می‌توان در هر زمانی بدون وارد کردن پارامترهای میراگر در ماتریس ساختی سازه اثر میراگر را در پاسخ سازه مورد بررسی قرارداد. هدف این تحقیق بررسی تأثیر موقعیت و درصد جرمی میراگر TMD در پلان بر عملکرد لرزه‌ای سازه‌های بتی می‌باشد. برای این منظور، سازه هیجده طبقه بتی مطابق با مبحث ۹ مقررات ملی ساختمان و استاندارد ۲۸۰۰، در نرم افزار 2000 SAP، با تحلیل و طراحی گردید. در مرحله بعدی در نرم افزار 2000 SAP، با تغییر میراگر جرمی با نسبت جرمی $\% ۱۵$ ، $\% ۲۰$ و $\% ۴۵$ با تغییر موقعیت TMD در پلان، رفتار این سازه از لحاظ برش پایه و تغییر مکان سازه ناشی از بارگذاری مقایسه و ارزیابی گردید.

دادند که مشخصات زلزله بر راندمان میراگر جرمی مؤثر است [۴]. Mohtat و همکاران نیز بر روی معیاری برای پایداری تأثیر عملکرد بهینه میراگرهای جرمی چندگانه کار کردند [۵].

۲- مدل تحلیلی میراگر جرمی تنظیم شده برای سیستم‌های یک درجه آزاد

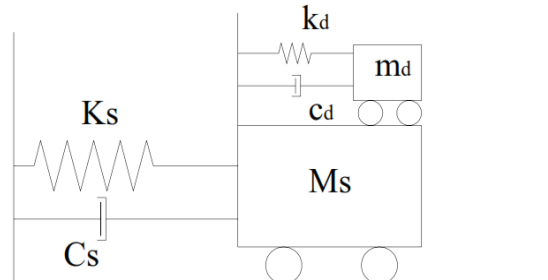
شکل ۱ نمای ساده شده‌ای از تعامل میراگر جرمی و سازه اصلی را نشان می‌دهد. پارامترهای K_S ، C_S ، M_S به ترتیب نمایانگر جرم سازه اصلی، استهلاک و سختی آن بوده و پارامترهایی که دارای زیر نویس d می‌باشند، بیانگر مقادیر نظیر آن برای میراگر هستند. اگر u_g ، u_s ، u_d ، و به ترتیب نشانگر تغییر مکان سازه اصلی نسبت به تکیه گاه، تغییر مکان میراگر نسبت به سازه اصلی و تغییر مکان تکیه گاه باشند، آنگاه معادلات دیفرانسیل تعادل دینامیکی سیستم به صورت زیر نوشته خواهد شد

(۱)

$$(M_S + M_d) \ddot{u}_S + C_S \dot{u}_S + K_S u_S = -(M_S + m_d) \ddot{u}_g - m_d \ddot{u}_d$$

(۲)

$$m_d \ddot{u}_S + C_d \dot{u}_d + K_d u_d = -m_d (\ddot{u}_g + \ddot{u}_d)$$



شکل ۱- تصویر شماتیک سازه اصلی و میراگر جرمی متصل به آن

۳- مشخصه‌های میراگر جرمی تنظیم شده
با در نظر گرفتن رابطه‌های عمدۀ میراگر جرمی در حالتیکه سازه اصلی نامیرا باشد می‌توان فرم تحلیلی تعیین مشخصات میراگر TMD را ارائه نمود [۲]. در صورت وجود میراگر جرمی برای تعیین مشخصات بھینه رابطه تحلیلی وجود ندارد. تساوی ولین، بر پایه کمینه ساختن نوسانات سازه یک درجه آزادی اصلی، طی یکسری فرآیندهای عددی جداولی را جهت محاسبه پارامترهای میراگر جرمی منتشر نمودند [۱]. به کمک این جداول می‌توان بر اساس نسبت جرم میراگر به جرم سازه اولیه و همچنین استهلاک سازه اصلی، مقادیر مطلوب مؤلفه‌های جرم تنظیم شونده را تعیین نمود. با توجه به اینکه مشارکت مود اول ارتعاشی در ساختمانها بیش از سایر مودهای است، پارامترهای میراگر جرمی سازه بر اساس جرم مودی اول ساختمان‌های بتی و میراگری کلی سازه تعیین گردید. کارایی میراگرهای مذبور زمانی است که در پشت‌بام نصب شوند زیرا مود اول بیشترین نقش را در جابجایی بام دارد.

برای تعیین مقادیر بھینه نسبت جرم و فرکانس و میراگر روش‌های مختلفی از جمله بھینه‌سازی با کمک الگوریتم‌های ژنتیک یا میانگین مرتب پاسخ‌ها بکار گرفته شده است. بر اساس نتایج تحلیلی در تحقیقات انجام شده با موضوع میراگر جرمی تنظیمی (TMD)، اغلب نتایج حاکی از این هستند که مناسب‌ترین نسبت میراگر میراگر ۲۰ تا ۳۰ درصد می‌باشد. همچنین نسبت فرکانس میراگر به فرکانس مود تنظیم شونده بین $۰/۹$ و ۱ در تغییر است. البته این مقادیر برای شرایط مختلف ممکن است متفاوت باشد. بنابراین با استناد به نتایج به دست آمده در تحقیقات گذشته، نسبت‌های جرمی f ، فرکانسی f و

اگر مؤلفه $m_d \ddot{u}_d$ را با استفاده از رابطه (۲) استخراج نموده در معادله (۱) قرار دهیم، معادلات (۳) و (۴) به شرح زیر حاصل می‌گردد:

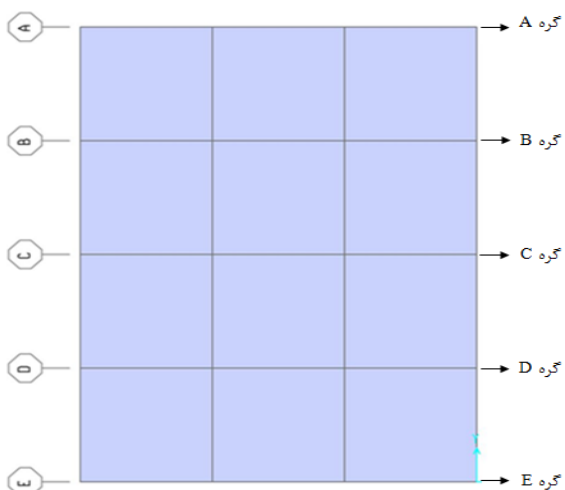
$$M_S \ddot{u}_S + C_S \dot{u}_S + K_S u_S = -M_S \ddot{u}_g + F_{TMD} \quad (۳)$$

(۴)

- ۱-زلزله Chi-Chi در سال ۱۹۹۹، با فواصل زمانی ۰/۰۰۵ ثانیه، از ایستگاه HWA 059 و به بزرگای ۷/۶۲ ریشتر.
- ۲-زلزله Friuli در سال ۱۹۷۶، با فواصل زمانی ۰/۰۰۵ ثانیه، از ایستگاه Tolmezzo و به بزرگای ۶/۵ ریشتر.
- ۳-زلزله Imperial Valley در سال ۱۹۷۹، از ایستگاه Sahop Casa Flores و به بزرگای ۶/۵۳ ریشتر.
- ۴-زلزله Kobe در سال ۱۹۹۵، با فواصل زمانی ۰/۰۱ ثانیه، از ایستگاه Shin-Osaka و به بزرگای ۶/۹ ریشتر.
- ۵-زلزله Loma Prieta در سال ۱۹۸۹، با فواصل زمانی ۰/۰۰۵ ثانیه، از ایستگاه Capitola و به بزرگای ۶/۹۳ ریشتر.
- ۶-زلزله Northridge در سال ۱۹۹۴، با فواصل زمانی ۰/۰۲ ثانیه، از ایستگاه Santasusana و به بزرگای ۶/۶۹ ریشتر.
- ۷-زلزله Victoria, Mexico در سال ۱۹۸۰، با فواصل زمانی ۰/۰۱ ثانیه، از ایستگاه Cerro Prieto و به بزرگای ۶/۳۳ ریشتر.

۴- اثر تغییر موقعیت و درصد جرمی میراگر در پلان بر عملکرد لوزه‌ای سازه

در شکل (۲) پلان سازه به همراه محور قرارگیری میراگر و همچنین نقاطی از سازه که تغییر مکان آنها مورد مقایسه قرار خواهد گرفت، آورده شده است.



شکل ۲ - پلان سازه [۷]

شکل (۳) نمایانگر تغییر مکان ماکریم سازه در ۵ گره در حالت بدون میراگر جرمی و حالت‌های مختلف الحاق میراگر جرمی ۵، ۱۰، ۱۵ و ۲۰٪ در محور A.

میرایی ζ_d میراگر جرمی تنظیم شده در این تحقیق با استفاده از روابط زیر و از مرجع [۶] انتخاب شدند:

$$\mu = \frac{m_d}{m} \quad (6)$$

$$f = \frac{\omega_d}{\omega} \quad (7)$$

$$\omega^2 = \frac{k}{m} \quad (8)$$

نسبت جرمی μ برابر با ۵، ۱۰، ۱۵ و ۲۰ درصد، نسبت فرکانسی f برای تمام مدل‌ها برابر با ۹۶ درصد و مقدار سختی کل سیستم میراگر جرمی تنظیم شده از رابطه زیر به دست می‌آید:

$$k_d = m_d (f \omega_{1b})^2 \quad (8)$$

نسبت میرایی میراگر ζ_d برای تعیین ضریب میرایی آن، برابر با ۲۷ درصد فرض شد. ضریب میرایی کل سیستم میراگر جرمی تنظیم شده از رابطه زیر به دست می‌آید:

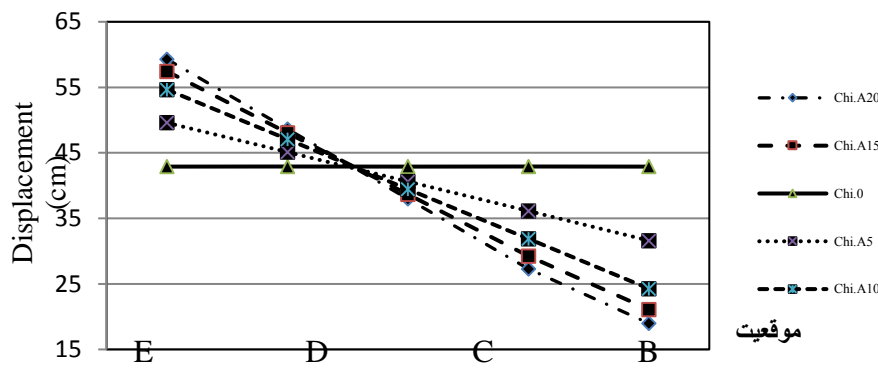
$$C_d = 2m_d (f \omega_{1b}) \zeta_d \quad (9)$$

در روابط یاد شده ω_{1b} فرکانس مود اول ساختمان می‌باشد برخی از مشخصات دینامیکی سازه مورد مطالعه و میراگرها، از جمله مقادیر سختی، میرایی و نسبت جرمی در جدول (۱) ارائه شده است. همچنین جرم کل سازه بدون میراگر برابر با ۴۰۶۰۴۰۰.۶ Kg می‌باشد.

جدول ۱- مقادیر سختی، میرایی و نسبت جرمی میراگر

| Damping Ratio | Mass , Kg | Stiffness , N/Cm | Damping , N.Sec/Cm |
|---------------|-----------|------------------|--------------------|
| 5% | 203020 | 31948 | 43489 |
| 10% | 406040 | 63897 | 86979 |
| 15% | 609060 | 95845 | 130469 |
| 20% | 812080 | 127794 | 173959 |

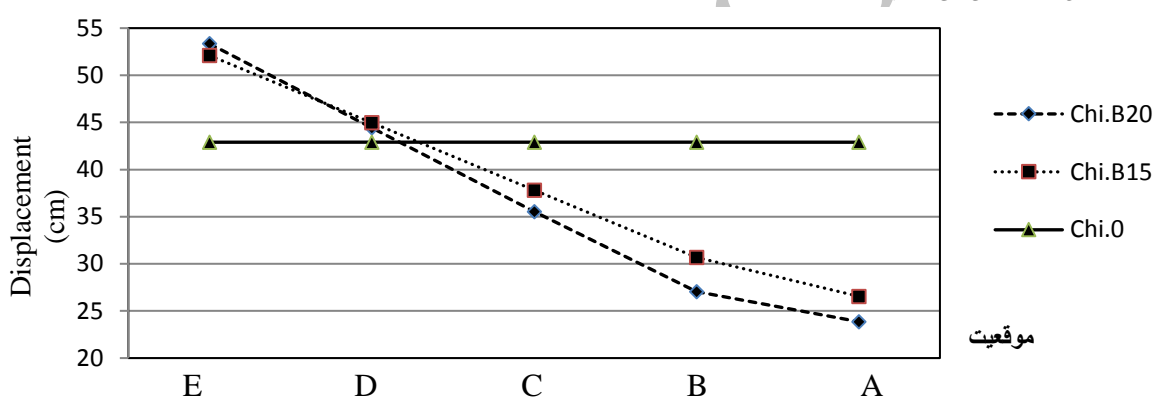
هفت زوج شتاب نگاشت از سایت PEER به شرح توضیحات زیر برای تحلیل دینامیکی مورد استفاده قرار گرفته است (در این مقاله جهت اختصار نتایج مربوط به یک رکورد ردیف ۱ آورده شده):



شکل ۳ - نمودار مقایسه‌ای تغییر مکان سازه در محور A تحت رکورد زلزله [۷] Chi-Chi

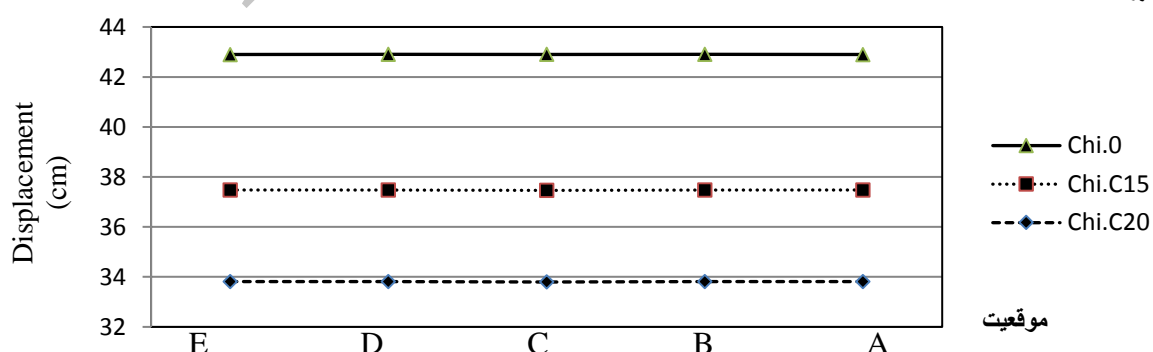
شکل (۴) نمایانگر تغییر مکان ماکریمم سازه در ۵ گره در حالت بدون میراگر جرمی و حالت‌های مختلف الحاق میراگر جرمی ۱۵٪ و ۲۰٪ در محور B.

با الحاق میراگر جرمی در محور A از میزان تغییر مکان در این محور کاسته می‌شود. با افزایش درصد چرمی میراگر در محور A کاهش تغییر مکان محسوس‌تر می‌باشد. ولی از طرف دیگر در محور E شاهد افزایش تغییر مکان می‌باشیم.



شکل ۴ - نمودار مقایسه‌ای تغییر مکان سازه در محور B تحت رکورد زلزله [۷] Chi-Chi

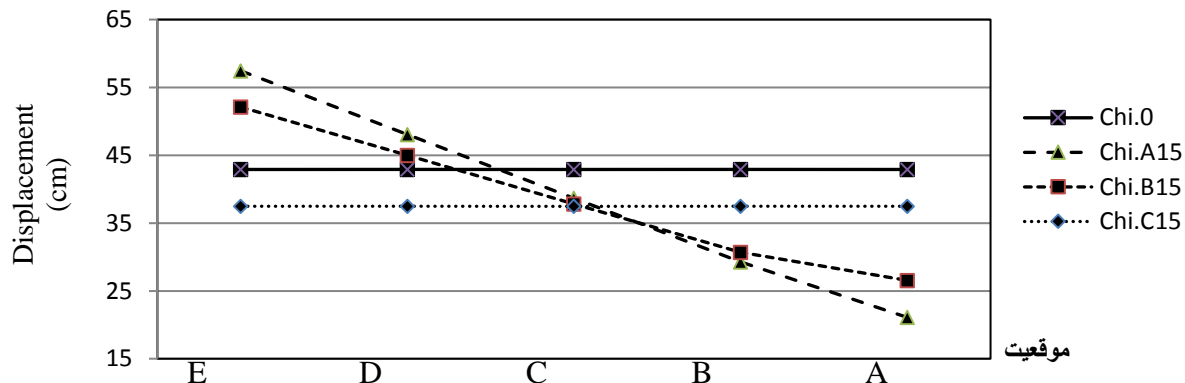
شکل (۵) نمایانگر تغییر مکان ماکریمم سازه در ۵ گره در حالت بدون میراگر جرمی و حالت‌های مختلف الحاق میراگر جرمی ۱۵٪ و ۲۰٪ در محور C.



شکل ۵ - نمودار مقایسه‌ای تغییر مکان سازه در محور C تحت رکورد زلزله [۷] Chi-Chi

حالت بدون میراگر جرمی و الحاق میراگر جرمی ۱۵٪ در محورهای A, C و B

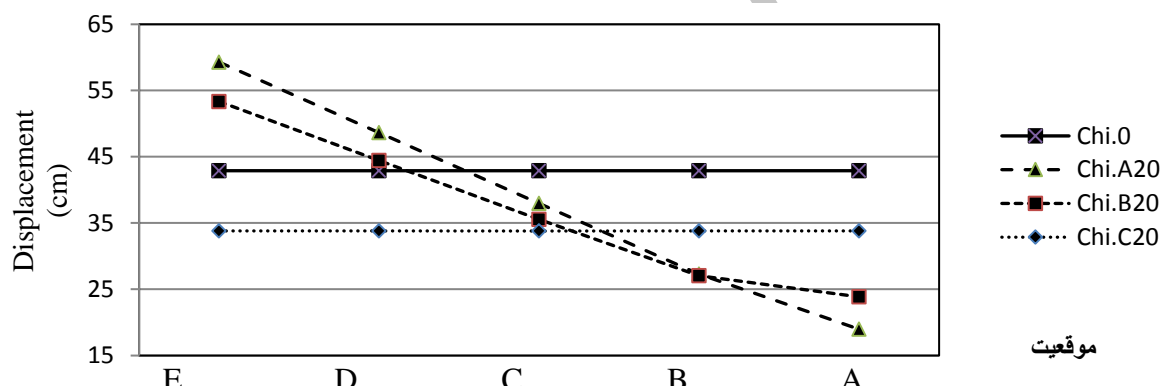
شکل (۶) نمایانگر تغییر مکان ماکریزم سازه در ۵ گره در



شکل ۶ - نمودار مقایسه‌ای تغییر مکان سازه با میراگر جرمی ۱۵٪ تحت رکورد زلزله [۷] Chi-Chi

حالت بدون میراگر جرمی و الحاق میراگر جرمی ۲۰٪ در محورهای A, C و B

شکل (۷) نمایانگر تغییر مکان ماکریزم سازه در ۵ گره در

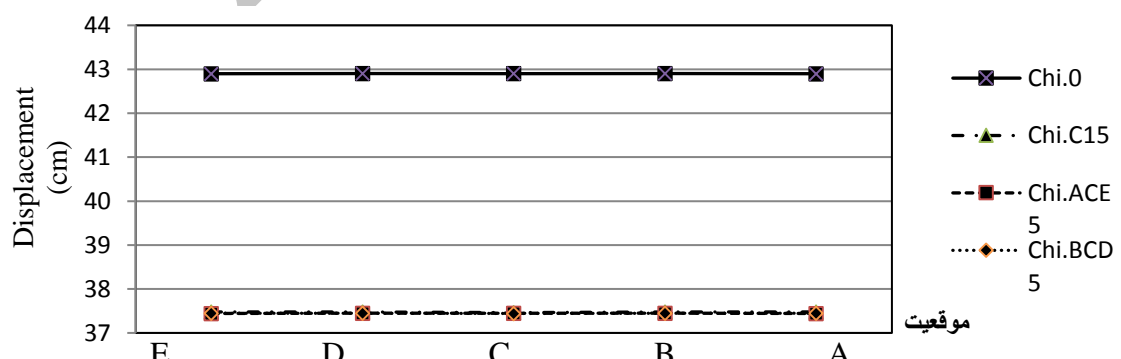


شکل ۷ - نمودار مقایسه‌ای تغییر مکان سازه با میراگر جرمی ۲۰٪ تحت رکورد زلزله [۷] Chi-Chi

میراگر و دارای میراگر در سه حالت مختلف :

شکل (۸) نمایانگر تغییر مکان ماکریزم سازه در ۵ گره

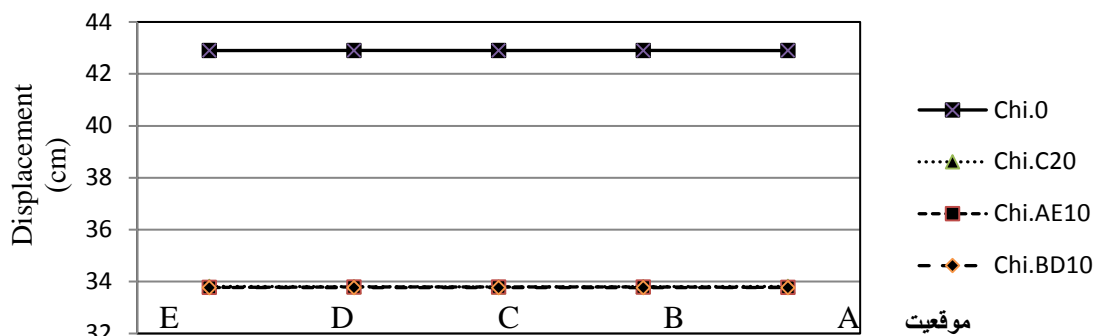
مشخص شده در نمونه‌های ACE5, BCD5 و C15 در شرایط بدون



شکل ۸ - نمودار تغییر مکان سازه نمونه‌های ACE5, BCD5 و C15 تحت رکورد زلزله [۷] Chi-Chi

بدون میراگر و دارای میراگر در سه حالت مختلف:

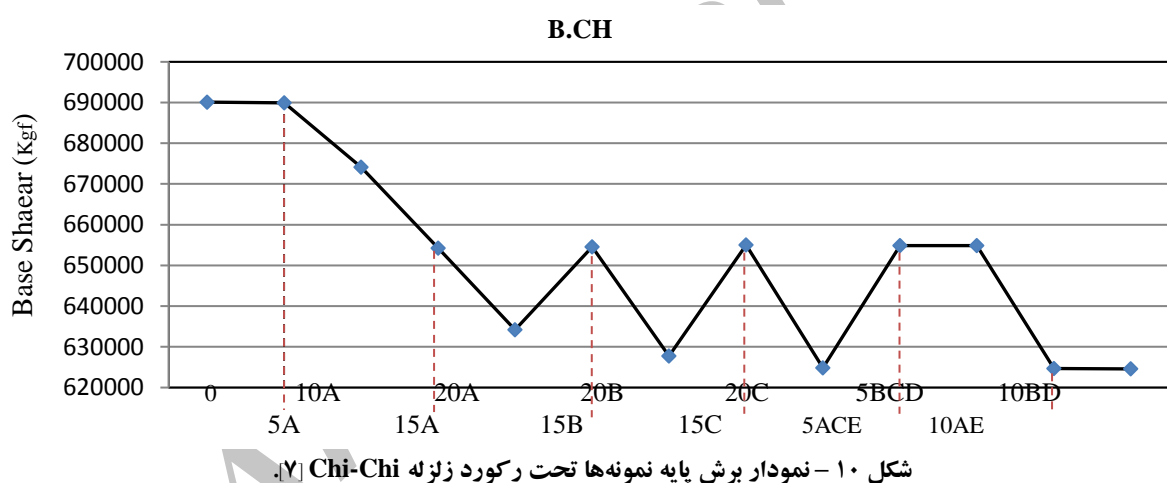
شکل (۹) نمایانگر تغییر مکان ماکریم سازه در ۵ گره مشخص شده در نمونه های AE10، BD10 و C20 در شرایط



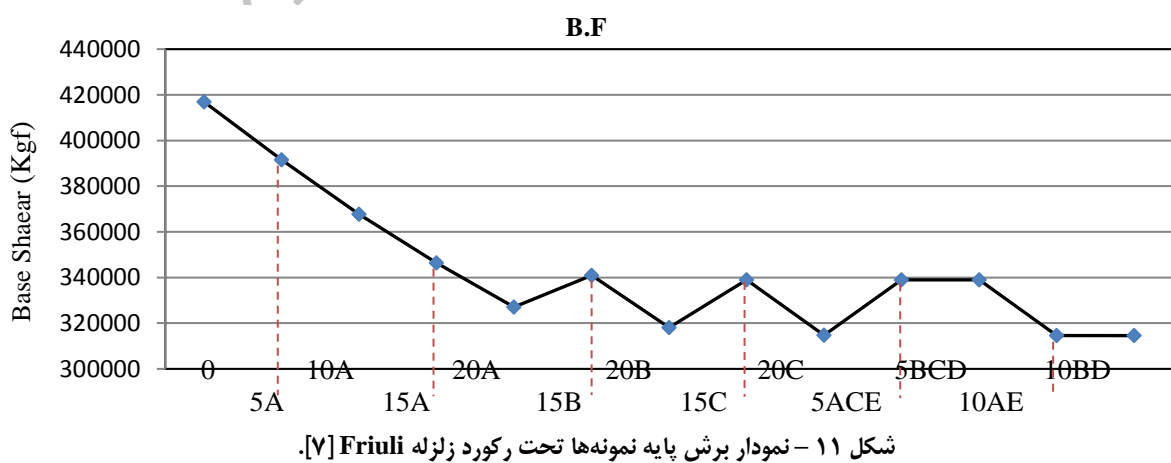
شکل ۹ - نمودار تغییر مکان سازه نمونه های AE10، BD10 و C20 تحت رکورد زلزله Chi-Chi

اشکال (۱۰) و (۱۱) نمایانگر نمودارهای برش پایه ماکریم

سازه تحت رکورد زلزله های مختلف :



شکل ۱۰ - نمودار برش پایه نمونه ها تحت رکورد زلزله Chi-Chi



شکل ۱۱ - نمودار برش پایه نمونه ها تحت رکورد زلزله Friuli

حال مطلوب سوق دهد. لازم به ذکر است استفاده از ادوات کنترل هوشمند دارای هزینه بسیار بالا می باشد ضمن اینکه در صورت قطعی یا وجود اختلالات در جریان برق هنگام زلزله، سیستم های فعال کاملاً "از کار می افتد.

یکی از دغدغه های مهم در امر مقاوم سازی به حداقل رساندن ناهماهنگی های معماری است. همانگونه که ذکر گردید میراگر جرمی را می توان در بام یا کف طبقات نصب نمود. بنابراین می توان بدون نیاز به اعمال تغییرات در معماری داخلی ساختمان و تنها با نصب میراگر در بام، سازه را در مقابل زلزله های متوسط مقاوم نمود. بطور کلی تفاوت محتوای فرانکاسی زمین لرزه با فرانکاس سازه اصلی باعث کاهش مطلوبیت میراگر جرمی می گردد. از سوی دیگر با توسعه تغییر شکل های پلاستیک در زلزله های شدید سختی تغییر کرده وتناسب آن با پارامتر های میراگر به هم می ریزد. به تعبیری تنظیم بین سازه و میراگر مختلف می گردد لذا کارایی TMD نیز از بین خواهد رفت.

۶- منابع

- [1]- Wilson, eM.d, (2005), "Fuzzy Control of Magnetorheological Damper for Vibration Reduction of Seismically Excited Structure, Chapter2: Control of Civil Structures", Thesis for Ph.D, Florida State University, Florida.
- [2]- Den Hartog, J.P., (1956), "Mechanical Vibrations.", 4th edition, McGraw-Hill, NY, Pages 57-78.
- [3]- Frohrib, D.A., Jennige, R.L., (1977), "Alternative Tuned Absorbers for Steady State Vibration Control of Tall Structures.", J. Mech. Des., ASME, Volume 77, Issue 8, Pages 1-7.
- [4]- Zahrai, S.M., Ghannadi_Asl, A., (2008), "Seismic Performance of TMDs in Improving the Response of MRF Buildings.", Scientia Iranica, Volume 18, Issue 1, Pages 94-105.
- [5]- Mohtat, A., Zahrai, S.M., Dehghan-Niri, E., (2007), "Design Methodology for MTMD Performance Optimization Using a New Criterion for Robustness, COMPDYN.", European conference on computational methods in structural dynamics and earthquake engineering, Rethymno, Greece, Pages 135-141.
- [6]- Warburton, G.B., (1982), "Optimum Absorber Parameters for Various Combinations of Response and Excitation Parameters.", Earth Eng Struct Dyn, Volume 10, Issue 7, Page 381-401.

در کلیه نمودارها محور افقی نشان دهنده محورهای آكس سازه و محور قائم بیان کننده مقادیر تغییر مکان و برش پایه سازه می باشد.

۵- نتیجه گیری

همانطور که در نمودارها قبل ملاحظه است، تغییر مکان سیستم تاحد زیادی به شکل رکورد زلزله ورودی و استه است. در صورت الحق میراگر به محورهای خارج از مرکز پلان، الحق میراگر هرچند می تواند تغییر مکان سازه را کاهش دهد ولی به علت وقوع پیچش در سازه، تغییر مکان سازه می تواند در گره های دیگر افزایش یابد. بطوریکه با الحق میراگر جرمی در محور A از میزان تغییر مکان در این محور کاسته می شود. با افزایش درصد جرمی میراگر در محور A کاهش تغییر مکان محسوس تر می باشد. ولی از طرف دیگر در محور E شاهد افزایش تغییر مکان می باشیم. در صورت الحق میراگر در مرکز پلان، تغییر مکان سازه کاهش می یابد. با قرارگیری میراگر در محور میانی سازه، با توجه به تقارن سازه تمامی محورها کاهش تغییر مکان یکسانی را تجربه می کنند.

با توجه به نمودارهای تغییر مکان و برش پایه نمودارهای ACE5 و C15 BCD5 ملاحظه گردید رفتار سازه از لحاظ تغییر مکان و برش پایه دقیقاً منطبق برهم می باشد. این مطلب برای نمونه های AE10 و C20 BD10 نیز صادق می باشد. می توان نتیجه گرفت که با ثابت نگه داشتن درصد جرمی و استفاده از دی سه میراگر بجای استفاده از یک میراگر در مرکز پلان، می توان از تمرکز جرم در محل خاصی از سازه جلوگیری کرد. با مقایسه نمودارهای برش پایه مشخص گردید که الحق میراگر برش پایه سازه را کاهش می دهد. با افزایش درصد جرمی میراگر، تغییر مکان و برش پایه سازه کاهش می یابد. اصولاً میراگر جرمی بعد از وقوع اولین ماکریم بار ورودی (شتاب) فعال شده و توان فرو نشاندن حداکثرهای بعدی را دارد.

از آنجا که کلیه مشخصه های میراگر جرمی در طول زمان لرزش ثابت می ماند، عملکرد این میراگرها به صورت غیر فعال است. در اثر اختلالات تنظیم ممکن است TMD اثر نا مطلوب نیز داشته باشد.

لذا پیشنهاد می گردد جهت مهار لرزه ای سازه ها در زلزله هایی با شدت های زیاد از سامانه های چندگانه شامل ادوات میراگر غیر فعال نظری TMD به همراه تجهیزات مستقل کننده فعل مانند جرم های (Active Tendon) یا کشنده های فعل (Active Mass) است که با استفاده از ادوات میراگر فعل یا هوشمند دارای قابلیت برنامه ریزی بوده و می توانند به صورت خودکار با ایجاد یک سیستم نیرویی مانع بر هم خوردن تعادل سازه و فرو ریختن آن شوند. تدارک سیستم کنترلی فعل برای سازه های با رفتار غیر خطی مستلزم دانستن مدل واقعی رفتار مصالح و اجزاء و طراحی آنها است که با استفاده از اطلاعات ارسالی توسط سیستم مونیتورینگ وضعیت سازه را ارزیابی نموده، با فرمانهای مناسب برای عملکردهای مکانیکی، سازه را به سمت

[۷]- محمدی اصل نژاد، میراسلام (۱۳۹۳) "تأثیر موقعیت و در
صد جرمی میراگر TMD در پلان بر عملکرد لرزه ای سازه‌های
بن آرمه"، پایان نامه کارشناسی ارشد سازه دانشگاه آزاد اسلامی
واحد شبستر.

Archive of SID

The effect of position and percentage of TMD in plan on seismic performance of concrete structures

Saeid Javaherzadeh

Assistant Professor, Department of Civil Engineering, Islamic Azad University, Shabestar Branch, Shabestar, Iran

Mireslam Mohammadi aslnejad

Master of Science in Civil Engineering- Structures, Islamic Azad University, Shabestar Branch, Sabestar, Iran

ABSTRACT

The most modern control techniques to improve the structural behavior of structures against unconventional forces of wind and earthquake. In this regard, researchers using innovative tools such as tuned mass damper (TMD) to reduce seismic vibrations. This paper examines the effect of the position and the percentage by mass damper TMD plan on seismic performance of concrete structures. For this purpose, a concrete structures eighteen floor, are selected. The TMD are uniformly distributed along the height of the structural models. Nonlinear dynamic time history analyses are used to determine the add TMD related response reduction. The results show an reduction in the dynamic response, by increasing damping ratios of structural systems caused by add TMD. Therefore, such systems can be used to retrofit buildings and improve their behavior under earthquake used.

Key words: tuned mass damper, percentage mass damper, time history analyses, position mass damper